

FELDER & KOMPONENTEN II

Zusammenfassung zur Vorlesung von
Dr. P. Leuchtmann

Lukas Cavigelli, Juni 2011
lukasc@ee.ethz.ch

ALLGEMEINES

Neper: [Np]

- bei Spannungen: $x[Np] = \ln(U_1/U_2)$
- bei Leistungen: $x[Np] = \frac{1}{2} \ln(P_1/P_2)$

MATHEMATISCHES

Vektoridentitäten:

$$\text{rot rot } \vec{A} = \text{grad div } \vec{A} - \Delta \vec{A}$$

Koordinatensysteme & Infinitesimalelemente:
in (Leuchtmann, 2005) auf Seite 536ff

Rechtssystem:

Rechte Hand: Daumen \vec{e}_x , Zeigefinger \vec{e}_y , Mittelfinger \vec{e}_z
Ausbreitung in \vec{e}_z , E-Feld in , H-Feld in

Laplace-Operator:

$$\Delta \vec{A} = \frac{\partial^2 A_x}{\partial t^2} + \frac{\partial^2 A_y}{\partial t^2} + \frac{\partial^2 A_z}{\partial t^2}$$

Reihen:

- binom. Entw.: $(1+x)^n = 1 + \frac{nx}{1!} + \frac{n(n-1)x^2}{2!} + \dots$, $|x| < 1$
- geom. Reihe: $\sum_{k=0}^{\infty} z^k = \frac{1}{1-z}$, $|z| < 1$

EBENE WELLEN

Für ebene Wellen gilt **allgemein:**

$$\vec{H}_D = \frac{1}{\omega \mu} (\vec{k} \times \vec{E}_D), \quad \vec{E}_D \cdot \vec{k} = 0, \quad \vec{k} \cdot \vec{k} = \omega^2 \mu \epsilon - j \omega \mu \sigma$$

$$\vec{E}(t) = \Re(\vec{E}_D e^{j\omega t}) = \Re(\vec{E}_D) \cos(\omega t) - \Im(\vec{E}_D) \sin(\omega t)$$

Für ebene Wellen **nach** \vec{e}_z gilt: $E_z = 0, H_z = 0, \frac{\partial}{\partial x} = 0, \frac{\partial}{\partial y} = 0$

Unterschied zu TEM-Wellen: dort können Ableitungen $\neq 0$ sein.

EBENE WELLEN IM FREQUENZBEREICH

Alles wird mit Ausbreitungsrichtung \vec{e}_z betrachtet.

$$\vec{E} = E_x^+ \vec{e}_x + E_y^+ \vec{e}_y + E_z^+ \vec{e}_z = E_0^+ e^{-\alpha z} e^{-j\beta z}, \quad H_y^{\pm} = \pm \frac{E_x^{\pm}}{Z_w}$$

$$\vec{E} = \Re\{\vec{E} e^{j\omega t}\} = E_0^+ e^{-\alpha z} \cos(\omega t - \beta z)$$

Wellenzahl:

$$k = -j\gamma = \beta - j\alpha = \sqrt{-j\omega\mu(\sigma + j\omega\epsilon)} = \omega \sqrt{\epsilon'' \mu}$$

Dämpfungskonstante: $[\alpha] = \frac{Np}{m}$

$$\alpha = -\Im(k) = \frac{\omega \sqrt{\mu \epsilon}}{\sqrt{2}} \sqrt{1 + \left(\frac{\sigma}{\omega \epsilon}\right)^2} - 1 \geq 0$$

Phasenkonstante: $[\beta] = \frac{rad}{m}$

$$\beta = \Re(k) = \frac{\omega}{v} = \frac{2\pi}{\lambda} = \frac{\omega \sqrt{\mu \epsilon}}{\sqrt{2}} \sqrt{1 + \left(\frac{\sigma}{\omega \epsilon}\right)^2} + 1 > 0$$

Phasengeschwindigkeit: (= Ausbreitungsgeschwindigkeit)

$$v_{phase} = \lambda f = \frac{\omega}{\beta} \left[\frac{m}{s} \right]$$

Wellenlänge: $\lambda = \frac{2\pi}{\beta} = \frac{c_0}{f \sqrt{\mu_r \epsilon_r}} \text{ [m]}$

Komplexe Permittivität: ${}^c \epsilon = \epsilon \left(1 - j \frac{\sigma}{\omega \epsilon}\right) = \epsilon' + j\epsilon''$

somit ist dann $\text{rot } \vec{H} = (\sigma + j\omega \epsilon) \vec{E} = j\omega {}^c \epsilon \vec{E}$

Wellenimpedanz: $[Z_w] = \Omega$

$$Z_w = \frac{E_x^+}{H_y^+} = \frac{-E_x^-}{H_y^-} = \frac{\omega \mu}{k} = \sqrt{\frac{j\omega \mu}{\sigma + j\omega \epsilon}} = \sqrt{\frac{\mu}{\epsilon}} = |Z_w| e^{j\theta_{Z_w}} = \sqrt{\frac{E_x^+}{H_x^+}} \neq \frac{E_x^+}{H_x^+}$$

Dabei gilt: $0 \leq \theta_{Z_w} = \frac{1}{2} \arctan\left(\frac{\sigma}{\omega \epsilon}\right) \leq 45^\circ = \frac{\pi}{4}$

STRÖME IM VERLUSTFALL

$$\text{rot } \vec{H} = \sigma \vec{E} + j\omega \epsilon \vec{E} = \vec{J}_c + \vec{J}_d = \vec{J}_{tot}$$

Daraus folgt der Winkel: $\tan(\theta) = \frac{\sigma}{\omega \epsilon} = \frac{|\vec{J}_c|}{|\vec{J}_d|} = \frac{\epsilon''}{\epsilon'}$

Gute Dielektrika: $\sigma \ll \omega \epsilon \Leftrightarrow \frac{\sigma}{\omega \epsilon} \ll 1 \Leftrightarrow \vec{J}_c \ll \vec{J}_d$

Gute Leiter: $\sigma \gg \omega \epsilon \Leftrightarrow \frac{\sigma}{\omega \epsilon} \gg 1 \Leftrightarrow \vec{J}_c \gg \vec{J}_d$

SKINEFFEKT

Skintiefe: $\delta = \frac{1}{\alpha} \approx \frac{1}{\sqrt{\pi f \mu \sigma}}$, weil dann $E_0 e^{-\alpha \delta} = E_0 e^{-1}$

Eindringtiefe der Welle bei der Amplitude auf $1/e$ abgeklungen

Somit folgt für gute Leiter: $Z_w \approx \frac{1}{\sqrt{2}} \sqrt{\frac{j\omega \mu}{\sigma}} = \frac{1+j}{\sqrt{2}} \sqrt{\frac{\omega \mu}{\sigma}}$

Als E-Feld ergibt sich: $E_x = E_0^+ e^{-z/\delta} \cos(\omega t - z/\delta)$

Zusammenhang zum **Widerstand einer Leitung:**

$$R_{DC} = \frac{l}{\sigma S}, \quad S = l \cdot w$$

$$R_S = \frac{l}{\sigma \delta} = \sqrt{\pi f \mu / \sigma} \text{ [}\Omega\text{]}$$

$$R_{AC} = \frac{l}{\sigma \delta w} = \frac{R_S l}{w} \text{ [}\Omega\text{]}$$

Überlegung: stromdurchflossene Fläche für AC: $S = \delta \cdot w$

POLARISATION

Polarisation: x-polarisiert $\Leftrightarrow \vec{E} = E_x(t, z) \vec{e}_x$

Für die ebene Welle im Zeitbereich heisst das, es bleiben:

$$\frac{\partial^2 E_x}{\partial z^2} = \mu \epsilon \frac{\partial^2 E_x}{\partial t^2}, \quad \frac{\partial E_x}{\partial z} = -\mu \frac{\partial H_y}{\partial t} \text{ und } \frac{\partial^2 H_y}{\partial z^2} = \mu \epsilon \frac{\partial^2 H_y}{\partial t^2}, \quad \frac{\partial H_y}{\partial z} = -\epsilon \frac{\partial E_x}{\partial t}$$

Gegeben sei ein E-Feld mit entsprechendem H-Feld:

$$\vec{E} = E_{01}^+ \cos(\omega t - \beta z) \vec{e}_x + E_{02}^+ \cos(\omega t - \beta z + \phi) \vec{e}_y$$

- **lineare Polarisation:** $\phi = 0$ mit Winkel $\tan^{-1}(E_{01}^+/E_{02}^+)$

$\Re(\vec{E}_D) \parallel \Im(\vec{E}_D) \Leftrightarrow \Re(\vec{E}_D) \times \Im(\vec{E}_D) = 0$

- **zirkulare Pol.** (re-drehend): $\phi = -90^\circ, E_{01}^+ = E_{02}^+$

$\Re(\vec{E}_D) \perp \Im(\vec{E}_D)$ und $|\Re(\vec{E}_D)| = |\Im(\vec{E}_D)|$

- **elliptische Pol.** (re-drehend): $\phi \neq 0^\circ, E_{01}^+ \neq E_{02}^+$, also sonst

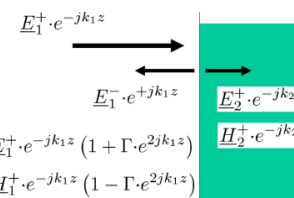
POINTING-VEKTOR

Leistungsfluss: $\vec{S} = \vec{E} \times \vec{H}$

Zeitl. durchschnittlicher Leistungsfluss: $\vec{S}_{av} = \frac{1}{2} \Re\{\vec{E} \times \vec{H}^*\}$

REFLEXION & TRANSMISSION

SENKRECHTER EINFALL, EBENE WELLE



$$E_1 = E_1^+ \cdot e^{-jk_1 z} (1 + \Gamma \cdot e^{2jk_1 z})$$

$$H_1 = H_1^+ \cdot e^{-jk_1 z} (1 - \Gamma \cdot e^{2jk_1 z})$$

Reflexionsfaktor:

$$\Gamma = \frac{E_1^-}{E_1^+} = \frac{Z_{w2} - Z_{w1}}{Z_{w2} + Z_{w1}}$$

Transmissionsfaktor:

$$T = \frac{E_2^+}{E_1^+} = \frac{2Z_{w2}}{Z_{w2} + Z_{w1}}$$

Allgemeine Relationen:

$$T = 1 + \Gamma, \quad 0 \leq |\Gamma| \leq 1, \quad 0 \leq |T| \leq 2$$

Daraus folgt:

$$E_1^- = \Gamma E_1^+, \quad H_1^- = -\Gamma H_1^+, \quad E_1 = E_1^+ (1 + \Gamma)$$

$$E_2^+ = T E_1^+, \quad H_2^+ = T \frac{Z_{w1}}{Z_{w2}} H_1^+$$

Mittelwert des Poynting-Vektors:

$$\vec{S}_{av} = \frac{1}{2} \Re\{\vec{E} \times \vec{H}^*\} = \frac{1}{2} \Re\{E_x \cdot H_y^*\} \vec{e}_z = \frac{1}{2} \frac{|E_1^+|^2}{Z_{w1}} (1 - |\Gamma(0)|^2) \vec{e}_z \left[\frac{W}{m^2} \right]$$

Verlustlose Medien:

$$\phi_1 = 0, \alpha_1 = \alpha_2 = 0, k_1 = \beta_1, k_2 = \beta_2, \quad Z_{w1}, Z_{w2}, \Gamma, T \in \mathbb{R}$$

VOLLSTÄNDIGE REFLEXION, \perp EINFALL

Leerlauf $Z_{w2} \rightarrow \infty$:

$$\Gamma = +1, \quad E_1 = 2E_1^+, \quad H_1 = 0$$

Idealer Leiter $\sigma \rightarrow \infty$ oder **Kurzschluss** $Z_{w2} = 0$:

$$\sigma \rightarrow \infty \Leftrightarrow Z_{w2} = 0, \quad \Gamma = -1, \quad E_1 = 0, \quad H_1 = \frac{2E_1^+}{Z_{w1}}$$

In diesen Fällen ist der mittlere Leistungstransport 0.

EIGENSCHAFTEN DER STEHENDEN WELLE

Feldminima für $0 \geq \Gamma \geq -1$, also $Z_{w1} > Z_{w2}$,

bzw. **Feldmaxima** für $0 \leq \Gamma \leq 1$, also $Z_{w1} < Z_{w2}$:

$$\beta_1 z = -n\pi, \quad z_{min} = -n \frac{\lambda_1}{2}, \quad n = 0, 1, \dots$$

Feldmaxima für $0 \geq \Gamma \geq -1$, also $Z_{w1} > Z_{w2}$,

bzw. **Feldminima** für $0 \leq \Gamma \leq 1$, also $Z_{w1} < Z_{w2}$:

$$2\beta_1 z = -(2n+1)\pi, \quad z_{max} = -(2n+1) \frac{\lambda_1}{4}, \quad n = 0, 1, \dots$$

Voltage-Standing-Wave-Ratio: $1 \leq SWR \leq \infty$

$$SWR = \frac{|E_{x1}|_{max}}{|E_{x1}|_{min}} = \frac{1 + |\Gamma|}{1 - |\Gamma|}, \quad |\Gamma| = \frac{SWR - 1}{SWR + 1}$$

und in Dezibel: $SWR_{dB} = 20 \log_{10}(SWR), SWR = 10^{SWR_{dB}/20}$

SCHRÄGER EINFALL

Schräge Ausbreitungsrichtung:

$$\vec{E} = E_0 e^{-j\vec{k} \cdot \vec{r}} \vec{e}_E = E_0 e^{-j(k_x x + k_y y + k_z z)} \vec{e}_E, \quad \vec{H} = \frac{\vec{e}_n \times \vec{E}}{Z_w}$$

Einfallsebene:

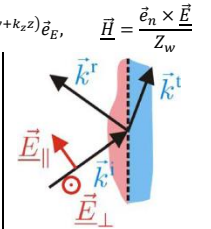
Ebene aus Flächennormale und Wellenvektor (Blattebene)

Parallele Polarisation:

\vec{E} -Feld parallel zur Einfallsebene

Senkrechte Polarisation:

\vec{E} -Feld senkrecht zur EE



BRECHUNGSGESETZE

Aus Stetigkeitsbedingungen: $\phi_i = \phi_r$

Snellius Brechungsgesetz:

$$\sin(\phi_i) = \beta_2 = \frac{v_1}{v_2}, \quad \sin(\phi_r) = \beta_1 = \frac{v_1}{v_2}$$

$$= \sqrt{\frac{\mu_2 \epsilon_2}{\mu_1 \epsilon_1}} = \frac{n_r}{n_i} = \frac{|\vec{k}^t|}{|\vec{k}^i|}$$

Brechzahl: $n = \sqrt{\mu_r \epsilon_r}$

Reflexions- und Transmissionsfaktoren:

parallel	$\Gamma_{ } = \frac{Z_{w2} \cos(\phi_t) - Z_{w1} \cos(\phi_i)}{Z_{w2} \cos(\phi_t) + Z_{w1} \cos(\phi_i)}$ $T_{ } = \frac{2Z_{w2} \cos(\phi_i)}{Z_{w2} \cos(\phi_t) + Z_{w1} \cos(\phi_i)}$	$1 + \Gamma_{ } = T_{ } \frac{\cos(\phi_t)}{\cos(\phi_i)}$
senkrecht	$\Gamma_{\perp} = \frac{Z_{w2} \cos(\phi_i) - Z_{w1} \cos(\phi_t)}{Z_{w2} \cos(\phi_i) + Z_{w1} \cos(\phi_t)}$ $T_{\perp} = \frac{2Z_{w2} \cos(\phi_i)}{Z_{w2} \cos(\phi_i) + Z_{w1} \cos(\phi_t)}$	$1 + \Gamma_{\perp} = T_{\perp}$

BREWSTER-WINKEL & TOTALREFLEXION

Brewster-Winkel:

Bei **Parallelpolarisation** (T^E , d.h. $\Gamma_{||} = 0$) tritt für einen bestimmten Winkel keine Reflexion auf, d.h. alles wird transmittiert.

$$\sin(\phi_i^B) = \sqrt{\frac{\epsilon_2(\epsilon_1 \mu_2 - \epsilon_2 \mu_1)}{\mu_1(\epsilon_1^2 - \epsilon_2^2)}} \text{ oder } \mu_r = 1: \tan(\phi_i^B) = \sqrt{\frac{\epsilon_{r2}}{\epsilon_{r1}}} = \frac{n_t}{n_i}$$

Kritischer Winkel:

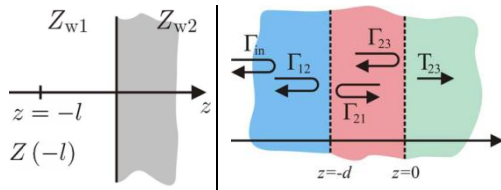
Bei **beiden** Polarisationen tritt beim Übergang von optisch dichteren ins optisch dünnere Medium ($\epsilon_1 > \epsilon_2$) Totalreflexion auf (wenn $\phi_i > \phi_c$). Der Transmissionswinkel wird dann komplex.

$$\epsilon_1 > \epsilon_2, \quad \sin(\phi_c) = \sqrt{\frac{\mu_2 \epsilon_2}{\mu_1 \epsilon_1}}$$

Komplexer Transmissionswinkel:

$$\sin(\phi_t) = \sqrt{\frac{\mu_1 \epsilon_1}{\mu_2 \epsilon_2}} \sin(\phi_i) = \frac{\sin(\phi_i)}{\sin(\phi_c)}$$

GESCHICHTETE DIELEKTRIKA



Lokale Impedanz:

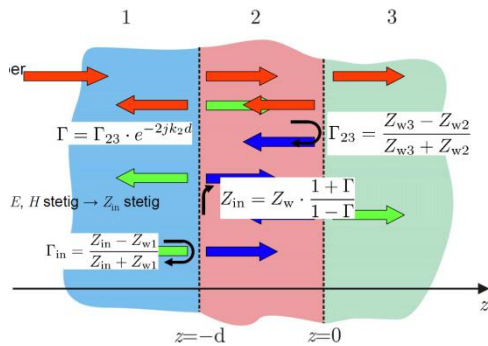
$$Z(-l) = \frac{E_{tot}(-l)}{H_{tot}(-l)} = Z_{w1} \frac{Z_{w2} + jZ_{w1} \tan(\beta_1 l)}{Z_{w1} + jZ_{w2} \tan(\beta_1 l)} \neq Z_w$$

Eingangsreflexionsfaktor:

$$\Gamma_{in}(z = -d) = \frac{\Gamma_{12} + \Gamma_{23} e^{-j2\beta_2 d}}{1 + \Gamma_{12} \Gamma_{23} e^{-j2\beta_2 d}}$$

Z stetig, aber schwer zu transformieren.

Γ nicht stetig, aber leicht zu transformieren.



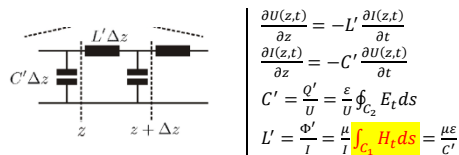
LEITUNGSTHEORIE

TEM-Wellen:

$$E_z = H_z = 0, \quad \vec{E} \perp \vec{H}, \quad |\vec{E}| = Z_w |\vec{H}|$$

$$\vec{H} = \frac{1}{Z_w} (\vec{e}_z \times \vec{E}), \quad \vec{E} = Z_w (\vec{H} \times \vec{e}_z)$$

LEITUNGERSATZSCHALTBILD



$$v = \frac{1}{\sqrt{LC'}} = \frac{1}{\sqrt{\mu\epsilon}}, \quad \beta = \frac{\omega}{v} = \omega \sqrt{LC'} = \omega \sqrt{\mu\epsilon} = \frac{\omega L'}{Z_0}, \quad [\beta] = \frac{\text{rad}}{\text{m}}$$

Im Frequenzbereich:

$$\underline{U}(z) = \underline{U}_0^+ e^{-j\beta z} + \underline{U}_0^- e^{+j\beta z}$$

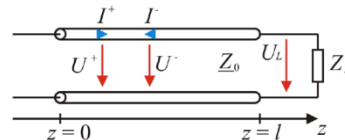
$$\underline{I}(z) = \frac{\beta}{\omega L'} \underline{U}_0^+ e^{-j\beta z} - \frac{\beta}{\omega L'} \underline{U}_0^- e^{+j\beta z}$$

Im Zeitbereich:

$$U(z, t) = |U_0^+| \cos(\omega t - \beta z + \phi^+) + |U_0^-| \cos(\omega t + \beta z + \phi^-)$$

$$I(z, t) = \frac{|U_0^+|}{Z_0} \cos(\omega t - \beta z + \phi^+) - \frac{|U_0^-|}{Z_0} \cos(\omega t + \beta z + \phi^-)$$

LEITUNGSImpEDANZ



Charakteristische (Leitungs-)Impedanz:

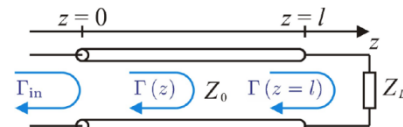
$$Z_0 = \frac{U^+}{I^+} = -\frac{U^-}{I^-} = Z_w \frac{\epsilon}{C'} = Z_w \frac{L'}{\mu} = \frac{\omega L'}{\beta} = \sqrt{L'/C'} \neq Z(z)$$

Z_0 reell \Leftrightarrow Leitung verlustlos \Leftrightarrow Strom und Spannung in Phase.

Lokale Leitungsimpedanz:

$$Z(z) = \frac{U(z)}{I(z)} = \frac{U_0^+ e^{-j\beta z} + U_0^- e^{+j\beta z}}{\frac{\beta}{Z_0} (U_0^+ e^{-j\beta z} - U_0^- e^{+j\beta z})}$$

REFLEXIONSFAKTOR



Reflexionsfaktor:

$$\Gamma(z = l) = \frac{U^-(z = l)}{U^+(z = l)} = \frac{Z_L - Z_0}{Z_L + Z_0}$$

$$\Gamma(z) = \frac{U^-(z)}{U^+(z)} = \Gamma(z = l) e^{-j2\beta(l-z)}, \quad \Gamma_{in} = \Gamma(z = 0)$$

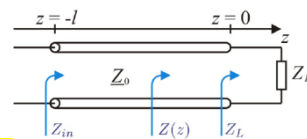
Gesamtspannung:

$$\underline{U}(z) = \underline{U}^+(z) + \underline{U}^-(z) = \underline{U}^+(z)(1 + \Gamma(z))$$

Gesamtstrom:

$$\underline{I}(z) = \underline{I}^+(z) - \underline{I}^-(z) = \underline{I}^+(z)(1 - \Gamma(z))$$

IMPEDANZTRANSFORMATION



$$Z_{in} = Z(-l) = \frac{U(-l)}{I(-l)} = Z_0 \frac{1 + \Gamma(-l)}{1 - \Gamma(-l)} = Z_0 \frac{Z_L + jZ_0 \tan(\beta l)}{Z_0 + jZ_L \tan(\beta l)}$$

Spezialfälle – Leitungslänge:

Länge l	βl	$\tan(\beta l)$	Z_{in}
$n \frac{\lambda}{2}$	$n\pi$	0	$Z_{in} = Z_L$
$(2n + 1) \frac{\lambda}{4}$	$(2n + 1) \frac{\pi}{2}$	∞	$Z_{in} = Z_0^2 / Z_L$
$(4n + 1) \frac{\lambda}{8}$	$(4n + 1) \frac{\pi}{4}$	1	$Z_{in} = Z_0 \frac{Z_L + jZ_0}{Z_0 + jZ_L}$
$(4n + 3) \frac{\lambda}{8}$	$(4n + 3) \frac{\pi}{4}$	1	$Z_{in} = Z_0 \frac{Z_L - jZ_0}{Z_0 - jZ_L}$

Spezialfälle – Lastimpedanz:

Kurzschluss	$Z_L = 0$	$Z_{in} = jZ_0 \tan(\beta l) = Z_{SC}$	$\Gamma = -1$
Leerlauf	$Z_L = \infty$	$Z_{in} = \frac{Z_0}{j \tan(\beta l)} = Z_{OC}$	$\Gamma = 1$
Abschluss	$Z_L = Z_0$	$Z_{in} = Z_0$	$\Gamma = 0$

Anmerkungen:

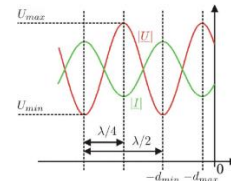
- $Z_0 = \sqrt{Z_{SC} Z_{OC}}$

- **Stichleitung:** Kurzschluss \parallel Z_L oder Leerlauf seriell zu Z_L

- Leitung der Länge $\lambda/4$ heisst „ $\lambda/4$ -Transformator“

Elektrische Länge: $\beta l = \frac{\omega l}{v} = \frac{2\pi l}{\lambda} = \frac{\pi \omega}{2 \omega_m}$

STEHWELLENVERHÄLTNISS



$$SWR = \frac{|U_{max}|}{|U_{min}|} = \frac{1 + |\Gamma(z = 0)|}{1 - |\Gamma(z = 0)|}, \quad |\Gamma(0)| = \frac{SWR - 1}{SWR + 1}$$

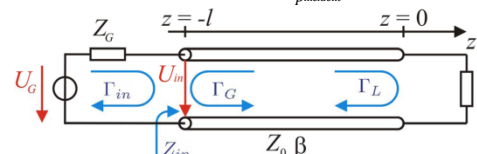
$$\underline{U}(z) = \underline{U}_0^+ e^{-j\beta z} (1 + \Gamma(0)) e^{j(\phi_L - 2\beta z)} \rightarrow |U_{max}|, |U_{min}|, \dots$$

Spannungsm minima bei $d_{min} = (\phi_L + (2n - 1)\pi) \frac{\lambda}{4\pi}$

Spannungsm maxima bei $d_{max} = (\phi_L + 2n\pi) \frac{\lambda}{4\pi}$

LEISTUNGSFLUSS & MEHRFACHREFLEXIONEN

$$p_{transmit}(z) = \frac{1}{2} \Re\{\underline{U}(z) \underline{I}^*(z)\} = \frac{1}{2} \frac{|U_0^+|^2}{Z_0} \left(\frac{1}{p_{incident}} - |\Gamma|^2 \right)_{p_{reflected}}$$



Generatorspannung:

$$\underline{U}_G = \underline{U}_{in} + \underline{I}_{in} Z_G = (\underline{U}_D^+ + \Gamma_{in} \underline{U}_D^+) + \frac{Z_G}{Z_0} (\underline{U}_D^+ - \Gamma_{in} \underline{U}_D^+)$$

$$\underline{U}_D^+ = \frac{\underline{U}_G Z_0}{(Z_G + Z_0)(1 - \Gamma_{in} \Gamma_L e^{-j2\beta l})} = \frac{\underline{U}_G (1 - \Gamma_G)}{2(1 - \Gamma_G \Gamma_L e^{-j2\beta l})}$$

Last an Leitung angepasst $Z_L = Z_0 \neq Z_G$:

$$\rightarrow \Gamma_L = 0, \quad SWR = 1, \quad Z_{in} = Z_0$$

$$P_{in} = \frac{1}{2} \frac{|\underline{U}_G|^2 Z_0}{(Z_0 + R_G)^2 + X_G^2}$$

Generator an Leitung angepasst $Z_{in} = Z_G, Z_L \neq Z_0$:

$$\rightarrow Z_G \neq Z_0, \quad \Gamma_{in} = \frac{Z_{in} - Z_G}{Z_{in} + Z_G} = 0$$

$$P_{in} = \frac{1}{2} \frac{|\underline{U}_G|^2 R_G}{4(R_G^2 + X_G^2)}$$

Konj.-kompl. Anpassung für max. Leistungstransfer $Z_{in} = Z_G^*$:

$$P_{in} = \frac{1}{2} \frac{|\underline{U}_G|^2}{4R_G}$$

Weitere Anpassungen in (Vahldieck, et al., 2011) auf S. 100ff

EINFÜGUNGS- & REFLEXIONSVERLUSTE

Reflexionsverlust:

$$L_r = 10 \log_{10}(P^+ / P^-) = 10 \log_{10}(1 / |\Gamma|^2)$$

Einfügungsdämpfung:

$$L_i = 10 \log_{10} \left(\frac{P_{ib}}{P_{ia}} \right) = 20 \log_{10} \left(\frac{U_{ib}}{U_{ia}} \right) = 20 \log_{10} \left(\frac{I_{ib}}{I_{ia}} \right)$$

Dabei ist l_{ib} vor der Einfügung und l_{ia} danach re vom Zweiter.

SMITH-CHART

$$\tilde{Z}(z) = \tilde{R}(z) + j\tilde{X}(z) = \frac{Z(z)}{Z_0} = \frac{1 + \Gamma(z)}{1 - \Gamma(z)}, \quad Y = \tilde{Y} / Z_0$$

Konstante Widerstandskreise ($\tilde{R} = \text{konst.}, \tilde{X}$ variiert):

$$\text{Radius: } \frac{1}{R+1}, \text{ Mittelpunkt: } \left(\frac{\tilde{R}}{R+1}, 0 \right)$$

Konstante Reaktanzkreise:

$$\text{Radius: } \frac{1}{X}, \text{ Mittelpunkt: } (1 | 1/X)$$

Konstante Reflexionskreise ($|\Gamma| = \text{konst.}, \phi$ variiert):

$$\text{Radius: } r \leq 1, \text{ Mittelpunkt: } (0|0)$$

ANWENDUNGEN DER SMITH CHART

Admittanz aus Impedanz:

Spiegeln der normierten Impedanz am Ursprung, dann normierte Admittanz entnommen.

Reflexionsfaktor bestimmen:

\tilde{Z} eintragen, Γ direkt ablesen (von der Mitte aus).

SWR bestimmen:

Drehen der norm. Impedanz auf dem $|\Gamma| = \text{konst.}$ Kreis bis zur positiven reellen Achse. Dann Schnittpunkt nach unten ziehen und auf der Skala $|\Gamma|^2$ ablesen.

Eingangsimpedanz einer kurzgeschl. Stichleitung:

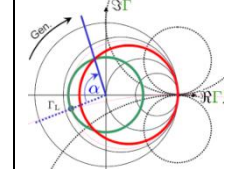
Kurzschluss bei $\tilde{Z} = 0$ einzeichnen, dann aus $|\Gamma| = \text{konst.}$ Kreis um die Länge der Stichleitung im Uhrzeigersinn drehen (\rightarrow Gen.)

Eingangsimpedanz einer $\lambda/4$ -Leitung:

Spiegeln der normierten Impedanz am Ursprung.

Leitungslänge l bestimmen bei gegebenem Γ_L und $R(0)$:

$R(0)$ suchen. Alle Γ liegen auf dem Kreis mit $r = |\Gamma_L|$ um $(0|0)$ (grün). Alle \tilde{R} liegen auf Kreis für konst. Widerstand (rot). Winkel $\alpha = 2\beta l$ (blau).



VERLUSTBEHAFTETE LEITUNGEN

Impedanz- & Admittanzbelag:

$$Z' = R' + j\omega L', \quad Y' = G' + j\omega C'$$

Ausbreitungskonstante: $\gamma = \sqrt{Z' Y'} = \alpha + j\beta$

Spannung & Strom im Frequenzbereich:

$$\underline{U}(z) = \underline{U}_0^+ e^{-\alpha z} e^{-j\beta z} + \underline{U}_0^- e^{+\alpha z} e^{+j\beta z}$$

$$\underline{I}(z) = \frac{\underline{U}_0^+}{Z_0} e^{-\alpha z} e^{-j\beta z} - \frac{\underline{U}_0^-}{Z_0} e^{+\alpha z} e^{+j\beta z}$$

Charakteristische Impedanz:

$$Z_0 = \sqrt{\frac{Z'}{Y'}} = \sqrt{\frac{R' + j\omega L'}{G' + j\omega C'}}$$

Unterschiede zu verlustlos:

- Spannungs- & Stromwellen sind gedämpft
- Spannungen & Ströme nicht mehr in Phase
- β wird grösser und somit $v = \omega/\beta$ kleiner.
- σ endl., also existiert auch im Leiter ein EM-Feld.

Eingangreflexionsfaktor (Last bei $z = 0$):

$$\Gamma_{in}(z) = \Gamma_L e^{2\alpha z} e^{j2\beta z}, \quad |\Gamma_{in}(z)| = |\Gamma_L| e^{2\alpha z}$$

Eingangs-/Leitungsimpedanz (Last bei $z = 0$):

$$Z_{in}(z) = Z_0 \frac{Z_L + Z_0 \tanh(-\gamma z)}{Z_0 + Z_L \tanh(-\gamma z)}$$

Mittlerer Leistungsfluss:

$$P_{av}(z) = \frac{1}{2} \Re \left\{ \underline{U}(z) \underline{I}^*(z) \right\} = \frac{|\underline{U}_0|^2}{2|Z_0|} e^{-2\alpha z} \cos(\phi_{z_0})$$

Verlustleistung:

$$P_{verlust} = P_{av}(z) - P_{av}(z+d) = P_{av}(z)(1 - e^{-2\alpha d})$$

Leitungen mit sehr kleinen Verlusten:

$$R' \ll \omega L', \quad G' \ll \omega C'$$

HOHLEITER

GESCHL. WELLENLEITER MIT HOM. DIELEK.

TE-Wellen: transversal elektrisch

$E_z = 0, H_z \neq 0$. Elektrisches Feldvektor transversal zu Ausbreit.

RB: $E_x|_{y=0,b} = 0, E_y|_{x=0,a} = 0$

TM-Wellen: transversal magnetisch

$H_z = 0, E_z \neq 0$. Magn. Feldvektor transversal zu Ausbreitungs.

RB: $H_x|_{x=0,a} = 0, H_y|_{y=0,b} = 0, E_z|_{x=0,a/y=0,b} = 0$

Wellenvektoren:

$$\vec{k}_{1,2} = k_{x1,x2} \vec{e}_x + \beta \vec{e}_z, \quad \omega^2 \epsilon \mu = \beta^2 + k_{x1,x2}^2, \quad k_{x1} = -k_{x2}$$

Geführte Wellenlänge: $\lambda_z = 2\pi/\beta_z$

Phasengeschwindigkeit: mit Einspeisungswinkel θ

$$v_{phase} = \lambda_z f = \omega/\beta_z = c/\cos(\theta)$$

Gruppengeschwindigkeit:

$$v_{gruppe} = c_0^2/v_{phase} = \partial\omega/\partial k = c_0 \sqrt{1 - (\lambda/\lambda_c)^2}$$

RECHTECKHOHLEITER

Grenzfrequenz/Cutoff-Frequenz:

$$f_{c,mn} = \frac{1}{2\sqrt{\mu\epsilon}} \sqrt{\left(\frac{m}{a}\right)^2 + \left(\frac{n}{b}\right)^2} = \frac{1}{\lambda_{c,mn}\sqrt{\mu\epsilon}}$$

Monomode-Bereich:

Frequenzbereich, in dem nur ein Mode ausbreitungsfähig ist.

Cutoff-Wellenlänge: $\lambda_{c,mn} = \frac{2ab}{\sqrt{(mb)^2 + (na)^2}}$

TE-Moden:

$m = 0, 1, 2, 3, \dots$
 $n = 0, 1, 2, 3, \dots$

nie $m = n = 0$!

TM-Moden:

$m = 1, 2, 3, \dots$
 $n = 1, 2, 3, \dots$

nie $m = 0$ oder $n = 0$!

Geführte Wellenlänge:

$$\lambda_z = \frac{2\pi}{\beta_z} = \frac{2\pi}{\sqrt{\omega^2 \mu \epsilon - \left(\frac{m\pi}{a}\right)^2 - \left(\frac{n\pi}{b}\right)^2}} = \frac{\lambda_0}{\sqrt{1 - \left(\frac{\lambda_0}{\lambda_c}\right)^2}}$$

Geführte Phasengeschwindigkeit:

$$v_z = \frac{\omega}{\beta_z} = \frac{\omega}{\sqrt{\omega^2 \mu \epsilon - \left(\frac{m\pi}{a}\right)^2 - \left(\frac{n\pi}{b}\right)^2}} = \frac{c_0}{\sqrt{1 - \left(\frac{\lambda_0}{\lambda_c}\right)^2}} = \frac{c_0}{\sqrt{1 - \left(\frac{f}{f_c}\right)^2}}$$

Ausbreitungskonstante:

$$k_z = \sqrt{\omega^2 \epsilon \mu - k_x^2 - k_y^2} = \sqrt{\omega^2 \epsilon \mu - \left(\frac{m\pi}{a}\right)^2 - \left(\frac{n\pi}{b}\right)^2}$$

$$k_z = \begin{cases} \beta_{mn}, & \omega > 2\pi f_{c,mn} \text{ (Ausbreitung)} \\ j\alpha_{mn}, & \omega < 2\pi f_{c,mn} \text{ (Dämpfung)} \end{cases}$$

Wellenimpedanz für TE-Moden:

$$Z_{TE_{mn}} = \frac{E_x}{H_y} = -\frac{E_y}{H_x} = \frac{\omega \mu}{\beta_{mn}} = Z_w \frac{k}{\beta_{mn}} = Z_w / \sqrt{1 - (f_{c,mn}/f)^2}$$

Wellenimpedanz für TM-Moden:

$$Z_{TM_{mn}} = \frac{E_x}{H_y} = -\frac{E_y}{H_x} = \frac{\beta_{mn}}{\omega \epsilon} = Z_w \frac{\beta_{mn}}{k} = Z_w \sqrt{1 - (f_{c,mn}/f)^2}$$

Feldkomponenten TE_{mn}-Moden:

$$\vec{E} = \begin{pmatrix} Z_{TE_{mn}} H_y \\ -Z_{TE_{mn}} H_x \\ 0 \end{pmatrix}, \vec{H} = \begin{pmatrix} \frac{j\beta_{mn} n \pi}{a k_z} H_0 \sin\left(\frac{m\pi x}{a}\right) \cos\left(\frac{n\pi y}{b}\right) e^{-j\beta_{mn} z} \\ \frac{j\beta_{mn} m \pi}{b k_z} H_0 \cos\left(\frac{m\pi x}{a}\right) \sin\left(\frac{n\pi y}{b}\right) e^{-j\beta_{mn} z} \\ H_0 \cos\left(\frac{m\pi x}{a}\right) \cos\left(\frac{n\pi y}{b}\right) e^{-j\beta_{mn} z} \end{pmatrix}$$

Feldkomponenten TM_{mn}-Moden:

$$\vec{E} = \begin{pmatrix} -\frac{j\beta_{mn} m \pi}{a k_z} E_0 \cos\left(\frac{m\pi x}{a}\right) \sin\left(\frac{n\pi y}{b}\right) e^{-j\beta_{mn} z} \\ -\frac{j\beta_{mn} n \pi}{b k_z} E_0 \sin\left(\frac{m\pi x}{a}\right) \cos\left(\frac{n\pi y}{b}\right) e^{-j\beta_{mn} z} \\ E_0 \sin\left(\frac{m\pi x}{a}\right) \sin\left(\frac{n\pi y}{b}\right) e^{-j\beta_{mn} z} \end{pmatrix}, \vec{H} = \begin{pmatrix} \frac{-E_y}{Z_{TM_{mn}}} \\ \frac{E_x}{Z_{TM_{mn}}} \\ 0 \end{pmatrix}$$

Anm.: Bei TE_{mn} gibt es Moden für $m = 0$ oder $n = 0$.

Bei TM_{mn} gibt es keine Moden für $m = 0$ oder $n = 0$.

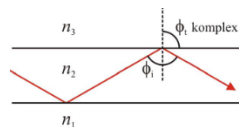
Flächenstrom: $\vec{J}_{surface} = \vec{n} \times \vec{H}$

RUNDHOHLEITER

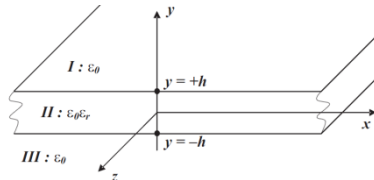
Herleitungen: Skript (Vahldieck, et al., 2011) Seite 145ff

Formelsammlung: Skript S. 155. Kein Prüfungsstoff.

DIELEKTRISCHE WELLENLEITER



SCHICHTWELLENLEITER



Wellenausbreitung:

Der Wellenleiter führt die elektromagnetische Welle in z-Richtung. In den Bereichen I und II wird angenommen, dass das Feld für $y \rightarrow \pm\infty$ verschwindet. Die Ausbreitungskonstante β in z-Richtung ist in allen Bereichen gleich. Im Folgenden wird überall $\mu_r = 1$ angenommen.

Dämpfungskonstante in y-Richtung:

$$\alpha_y = \sqrt{\beta^2 - \omega^2 \epsilon_0 \mu_0}$$

Wellenvektor in y-Richtung im Bereich II:

$$k_{yII} = \sqrt{\omega^2 \epsilon_0 \epsilon_r \mu_0 - \beta^2}$$

Grenzfrequenz/Cutoff-Frequenz:

$$f_c = \frac{m c_0}{4h \sqrt{\epsilon_r - 1}}, \quad m = \begin{cases} 1, 3, 5, \dots, & \text{gerade Lösung} \\ 0, 2, 4, \dots, & \text{ungerade Lösung} \end{cases}$$

Für die Felder versch. Moden: S.158 in (Vahldieck, et al., 2011).

FASERWELLENLEITER

Dämpfungskoeffizient: $\alpha = -\frac{10}{\Delta z} \log\left(\frac{P(z_0+\Delta z)}{P(z_0)}\right)$

Brechungsgesetz von Snellius: $\frac{\sin(\phi_1)}{\sin(\phi_2)} = \frac{n_2}{n_1}$

Brechzahlendifferenz: $\Delta n = \frac{n_1^2 - n_2^2}{2n_1^2} \approx \frac{n_1 - n_2}{n_1}$

Totalreflexion:

Trifft der Lichtstrahl unter einem Winkel grösser als der kritische auf die Grenzfläche eines dünneren Mediums ($n_1 > n_2$), dann kommt es zur Totalreflexion.

Kritischer Winkel: $\sin(\phi_c) = \frac{n_2}{n_1} = \frac{n_t}{n_i}$

Numerische Apertur NA: $NA = \sin(\theta_{max}) = \sqrt{n_i^2 - n_t^2}$

mit θ_{max} dem maximalen Einspeisungswinkel, damit Totalreflexion auftritt.

ANTENNEN

ANTENNENPARAMETER

Strahlungsdichte:

$$S(\theta, \phi) = r^2 \frac{1}{2} \Re \left\{ \underline{E} \times \underline{H}^* \right\} \cdot \vec{e}_r, \quad [S] = W$$

Mittlere Strahlungsdichte: $S_{av} = \frac{P_{rad}}{4\pi}$

Strahlungsleistung: $[P_{rad}] = W$

$$P_{rad} = \oint \oint_{Kugel} \vec{S} \cdot d\vec{F} = \int_0^\pi \int_0^{2\pi} S(\theta, \phi) \sin(\theta) d\phi d\theta$$

Wirkungsgrad: $\eta = \frac{P_{rad}}{P}$ mit P : eingespeiste Leistung

Eingespeiste Leistung: $P = P_{rad} + P_{verlust}$

Richtfaktor: $D(\theta, \phi) = \frac{S(\theta, \phi)}{S_{av}}$

Max. Richtfaktor: $D_0 = \frac{S_{max}}{S_{av}} = 4\pi \frac{S_{max}}{P_{rad}}$

Gewinn: $G(\theta, \phi) = \eta D(\theta, \phi)$

Max. Gewinn: $G_0 = \eta D_0 = \eta \frac{S_{max}}{S_{av}} = 4\pi \frac{S_{max}}{P}$

Strahlungswiderstand: $R_S = \frac{2P_{rad}}{|\underline{I}|^2}, [R_S] = \Omega$

HERTZ'SCHER DIPOL

PARAMETER

Strahlungsdichte: $S(\theta) = \frac{|\underline{I}|^2 Z_{wo}}{8} \left(\frac{l}{\lambda_0}\right)^2 \sin^2(\theta)$

Mittlere Strahlungsdichte: $S_{av} = \frac{|\underline{I}|^2 Z_{wo}}{12} \left(\frac{l}{\lambda_0}\right)^2$

Maximale Strahlungsdichte: $S_{max} = \frac{|\underline{I}|^2 Z_{wo}}{8} \left(\frac{l}{\lambda_0}\right)^2$

Strahlungsleistung: $P_{rad} = \frac{|\underline{I}|^2 Z_{wo} \pi}{3} \left(\frac{l}{\lambda_0}\right)^2$

Richtfaktor: $D(\theta) = \frac{3}{2} \sin^2(\theta)$

Max. Richtfaktor: $D_0 = \frac{3}{2}$

Strahlungswiderstand: $R_S = Z_{wo} \frac{2\pi}{3} \left(\frac{l}{\lambda_0}\right)^2$

FELD

Dipolmoment:

$$\underline{p} = \frac{-\underline{U}}{4\pi j \omega \epsilon_0} = \frac{-\underline{U} Z_{wo}}{4\pi j k_0}$$

Wellenimpedanz:

$$Z_{wo} = \sqrt{\mu_0 / \epsilon_0}$$

Wellenvektor:

$$k_0 = \omega \sqrt{\mu_0 \epsilon_0}$$

E-Feld:

$$\underline{E}_r = -2p \frac{e^{-jk_0 r}}{r^3} (1 + jk_0 r) \cos(\theta), \quad \underline{E}_\phi = \underline{0}$$

$$\underline{E}_\theta = -p \frac{e^{-jk_0 r}}{r^3} (1 + jk_0 r - k_0^2 r^2) \sin(\theta)$$

H-Feld:

$$\underline{H}_r = \underline{0}, \quad \underline{H}_\theta = \underline{0}, \quad \underline{H}_\phi = \frac{1}{4\pi} \frac{e^{-jk_0 r}}{r^2} (1 + jk_0 r) \sin(\theta)$$

Nahfeld $l \ll \lambda$ $r \ll \lambda$ $r \gg \lambda$ $r \gg \lambda_0$	Nahfeld $l \ll \lambda$ $r \ll \lambda$ $r \gg \lambda$ $r \gg \lambda_0$	$\underline{E}_r = -2p \frac{e^{-jk_0 r}}{r^3} \cos(\theta)$ $\underline{E}_\theta = -p \frac{e^{-jk_0 r}}{r^3} \sin(\theta)$ $\underline{H}_\phi = -p \frac{k_0}{Z_{wo}} \frac{e^{-jk_0 r}}{r^2} \sin(\theta)$ <p>andere Komponenten = 0</p> <ul style="list-style-type: none"> • \underline{E} und \underline{H} in keinem festen Verhältnis. • Felder 90° phasenverschoben • direkt beim Hertz'schen Dipol: $\underline{E} \perp \underline{H}$
Fernfeld $r \gg \lambda_0$ $r \gg \lambda$	Fernfeld $l \ll \lambda$ $r \gg \lambda$ $r \gg \lambda_0$	$\underline{E}_r = \underline{0}$ $\underline{E}_\theta = p k_0^2 \frac{e^{-jk_0 r}}{r} \sin(\theta) = Z_{wo} \underline{H}_\phi$ $\underline{H}_\phi = p k_0^2 \frac{1}{Z_{wo}} \frac{e^{-jk_0 r}}{r} \sin(\theta)$ <p>andere Komponenten = 0</p> <ul style="list-style-type: none"> • Welle ist eine ebene Welle • $\underline{E} / \underline{H} = Z_{wo} \approx 377 \Omega$

Fraunhofer-Distanz: Gültigkeit Fernfeld

$$d \geq 2D^2/\lambda$$

D : grösste Ausdehnung der Antenne („Antennendurchmesser“)

d : Abstand Sender \leftrightarrow Empfänger

TODO

- verlustbehafteter schräger Einfall
- Stetigkeitsbedingungen bei schrägem Einfall !! (VD März 06)
- mehrfachreflexionen in der leitungstheorie
- Impedanztransformation bei verlustbehafteten Leitern.
- evtl. zirkuläre Polarisation bei ebenen Wellen als Überlagerung von 2 ebenen Wellen schreiben.

Überlagerung von zwei ebenen Wellen:

$$\vec{E}_{tot} = \underline{E}_0 e^{-j\beta z} (e^{-jk_{x1}x} - e^{-jk_{x2}x}) \vec{e}_y$$
$$\vec{E}_{tot} = -2j \underline{E}_0 e^{-j\beta z} \sin(k_{x1}x) \vec{e}_y$$

LITERATURVERZEICHNIS

Leuchtmann Pascal Einführung in die elektromagnetische Feldtheorie [Buch]. - [s.l.] : Pearson Studium, 2005. - ISBN 3-8273-7144-9.

Vahldieck Rüdiger und Leuchtmann Pascal Felder und Komponenten II. - [s.l.] : IFH, ETH Zurich, 2011. - 11. Auflage. - Skript zur Vorlesung im 4. Semester.